

УДК 578.531 : 539.26

© 1990

ЭНЕРГЕТИЧЕСКОЕ ПОЛОЖЕНИЕ Ba 4f-ЗОН В ПЕРОВСКИТЕ BaTiO_3

A. Д. Юматов, В. Н. Дацюк, И. И. Гегузин

Экспериментальный рентгеновский Ti K-спектр поглощения BaTiO_3 отличается от такого же спектра SrTiO_3 наличием узкого интенсивного пика, который лежит на ≈ 15 эВ выше дна зоны проводимости. Показано, что это наблюдаемое различие может быть объяснено сильной гибридизацией Ba 4f-зон с Ti p-зонами. Для этого методом функций Грина с учетом потенциала остоянной дырки выполнен расчет сечений Ti K-фотопоглощения в SrTiO_3 и BaTiO_3 . Учет потенциала остоянной дырки является существенным для адекватного описания эксперимента.

Наблюдение явления высокотемпературной сверхпроводимости в слоистых оксидах типа $\text{YBa}_2\text{Cu}_3\text{O}_7$, [1] привлекает особое внимание к их электронной структуре. Одним из важных является вопрос о роли Ba 4f-состояний. Он возник еще раньше в связи с анализом электронной структуры

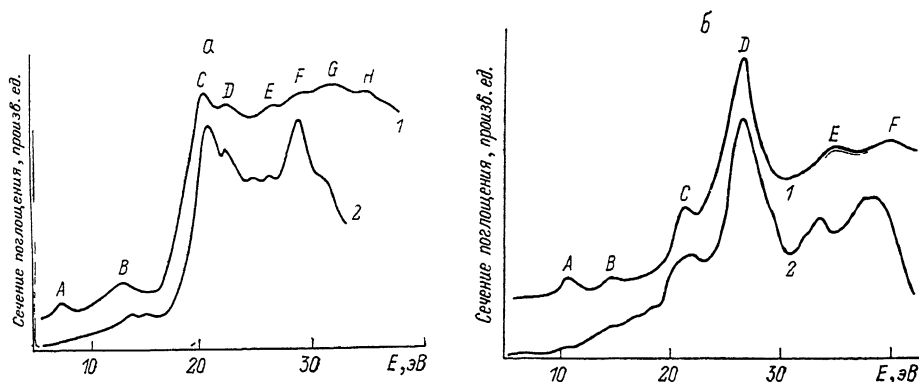


Рис. 1. Ti K-спектры поглощения в SrTiO_3 (а) и BaTiO_3 (б).

1 — эксперимент [3], 2 — теория. Энергии отсчитаны от МТ-нуля потенциала.

перовскитов типа BaTiO_3 [2]. Целью данной работы является определение положения Ba 4f-зон в BaTiO_3 на основании сравнения результатов расчетов с экспериментом.

В основе нашего анализа лежит экспериментально наблюдаемое различие [3] между рентгеновскими Ti K-спектрами поглощения SrTiO_3 и BaTiO_3 (рис. 1, а, б). Характерной чертой спектра в BaTiO_3 является наличие интенсивного, сравнительно узкого пика D , в то время как в спектре SrTiO_3 аналогичный пик отсутствует. Положение дна зоны проводимости (ЗП) в этих спектрах можно отождествить с пиками A , соответствующими переходам Ti 1s-электрона на самые нижние незаполненные состояния [3], в которых доминируют Ti 3d-орбитали. Таким образом, пик D лежит на ≈ 15 эВ выше дна ЗП. Наблюдаемые различия Ti K-спектров в этой области энергий должны быть обусловлены различиями в гибридизации Ti p-состояний с другими состояниями. Для того чтобы выяснить

нить, какие именно состояния приводят к наблюдаемому эффекту, мы выполнили расчеты рентгеновских Ti K -спектров поглощения SrTiO_3 и BaTiO_3 .

Сечение Ti K -фотопоглощения определяется следующим выражением [4]:

$$\sigma_{1s}^{\text{Ti}}(\omega) = \frac{4\pi^2\alpha\Omega}{9} \hbar\omega [T_{1s-p}^{\text{Ti}}(E)]^2 N_p^{\text{Ti}}(E). \quad (1)$$

Здесь $\hbar\omega = E - E_{1s}$ — энергия перехода, α — постоянная тонкой структуры, Ω — объем элементарной ячейки, $T_{1s-p}^{\text{Ti}}(E)$ — радиальный фактор вероятности $1s-p$ перехода, $N_p^{\text{Ti}}(E)$ — локальная парциальная плотность незанятых Ti p -состояний (ЛППС). Расчет ЛППС выполнен в рамках однопримесного приближения [5], учитывающего влияние оставной $1s$ -дырки, возникающей в процессе рентгеновского фотопоглощения

$$N_p^{\text{Ti}}(E) = -\frac{2}{\pi} \text{Im} \left\{ \frac{G_p(E)}{1 - [\Delta t_p^{\text{Ti}}(E)] G_p(E)} \right\}, \quad (2)$$

$G_p(E)$ — парциальная p -компонентная функции Грина (ФГ) основного состояния кристалла; $\Delta t_p^{\text{Ti}}(E)$ — разность парциальных t -матриц рассеяния, соответствующих основному и возбужденному состояниям кристалла. Разность t -матриц рассеяния вычислена в приближении атомной релаксации [4].

Для вычисления ФГ основного состояния проведены самосогласованные расчеты зонной структуры SrTiO_3 и BaTiO_3 . На каждой итерации зонный расчет симметризованным методом ППВ проводился в пяти специальных k -точках в зоне Бриллюэна (ЗБ), а для вычисления ЛППС и ФГ в самосогласованном потенциале в области энергий ЗП в расчете участвует 35 точек в неприводимой части ЗБ. Самосогласование существенным образом влияет на значения ширин запрещенных полос E_g . Так, если на начальной итерации величины E_g были равны 5.9 (SrTiO_3) и 5.3 эВ (BaTiO_3), то соответствующие самосогласованные значения оказались равными 4.2 и 3.1 эВ. Отметим, что Маттхайсс [6] также получил в несамосогласованном ППВ расчете SrTiO_3 завышенное значение E_g (6.3 эВ) и при дальнейшей ЛКАО интерполяции использовал E_g как свободный параметр. Процесс самосогласования влияет не только на величины E_g , но и на строение всей ЗП. Построенный по такой же схеме самосогласованный потенциал ранее был нами использован в исследовании оптических спектров кристалла LiH [7].

Окончательные результаты расчетов сечений Ti K -фотопоглощения по формулам (1), (2) сопоставлены с экспериментальными спектрами (рис. 1, а, б). Согласие теории и эксперимента позволяет объяснить прохождение пика D в спектре BaTiO_3 . Совместное рассмотрение ЛППС различных симметрий показывает, что в той области энергий, где локализован пик D , сосредоточена ЛППС Ba $4f$ -состояний. Таким образом, пик D в Ti K -спектре BaTiO_3 проявляется вследствие гибридизации Ti p -состояний с Ba f -состояниями. Основываясь на экспериментально наблюдаемой разности положений пиков D и A , мы заключаем, что Ba $4f$ -зоны в BaTiO_3 находятся примерно на ≈ 15 эВ выше дна ЗП.

Обсудим некоторые аспекты полученных результатов. В работе [3] пик D в спектре BaTiO_3 считается обусловленным Ba $5d$ -состояниями. Однако, согласно нашему расчету, Ba $5d$ -зоны лежат на ≈ 8 эВ ниже по энергии, чем $4f$ -зоны. К тому же Sr $4d$ -зоны в SrTiO_3 в принципе должны были бы оказывать на Ti K -спектр влияние, подобное влиянию Ba $5d$ -зон в случае BaTiO_3 . Таким образом, наблюдаемое различие между Ti K -спектрами в SrTiO_3 и BaTiO_3 не удается объяснить гибридизацией с Ba $5d$ -зонами.

Для описания незанятых состояний в $X\alpha$ -модели значение α , определяющее обменно-корреляционный потенциал, внутри сферы Ba было

взято равным 0.7 [8]. Выбор значения α решающим образом влияет на результатирующее положение незанятых Ba 5d- и 4f-зон. Изменения величины α приводят к радикальной перестройке ЗП. Результаты проведенных нами зонных расчетов, а также кластерных расчетов [2] свидетельствуют о том, что если выбрать $\alpha_{\text{Ba}}=1$, то узкие, квазиатомные Ba 4f-зоны лежат у дна ЗП. В таком случае теоретические Ti K-спектры SrTiO₃ и BaTiO₃, оказываются подобными друг другу, что не согласуется с экспериментом. При уменьшении α от 1.0 до 0.7 Ba 4f-зоны быстро поднимаются от дна ЗП до ≈ 15 эВ над дном ЗП. Ширина этих зон нелинейно зависит от α : зоны остаются узкими до тех пор, пока они не попадают в область собственных Ti p-зон, положение которых (≈ 12 эВ над дном ЗП) устанавливается по резкому росту сечения поглощения в Ti K-спектрах. В этой области энергий Ba 4f-зоны сильно гибридизируются с Ti p-зонами, в результате чего ширина Ba 4f-зон достигает нескольких эВ. При дальнейшем уменьшении α от 0.7 до 0.4 f-зоны уже более не поднимаются вверх. В то же время Ba 4f-зоны слабо гибридизируются с Ti 3d-зонами и O p-зонами, лежащими ниже по энергии. Необходимость значительного уменьшения α в области незанятых состояний ранее была продемонстрирована в исследовании рентгеновских спектров поглощения свободных атомов Xe [9].

Для объяснения наблюдаемых спектров существенным является учет потенциала оставной дырки [5]. На рис. 2 приведены теоретические Ti K-спектры поглощения SrTiO₃, полученные как в зонном приближении (1) так и с учетом влияния рентгеновской Ti 1s-дырки (2). В обоих случаях расчеты проведены на основе выражения (1) с той только разницей, что при учете локального возмущения полем дырки ЛППС на атоме Ti, поглотившем рентгеновский фотон, вычисляются по формуле (2), а для основного состояния кристалла ЛППС вычисляются с помощью следующего выражения [5]:

$$N_p^{\text{Ti}}(E) = \frac{2\Omega}{(2\pi)^3} \int_{\text{ЗБ}} d^3k |C_p(\mathbf{k})|^2. \quad (3)$$

Здесь $C_p(\mathbf{k})$ представляют собой амплитуды разложения блоховской функции по парциальным волнам. Влияние дырки на спектр конечных состояний оказывается, как видно, значительным. В частности, оно приводит к наблюдаемому резкому взлету сечения поглощения при энергиях, лежащих на ≈ 12 эВ выше дна ЗП.

Таким образом, наблюдаемое различие Ti K-спектров в SrTiO₃ и BaTiO₃ может быть объяснено сильной гибридизацией Ba 4f-зон с Ti p-зонами при энергиях, на ≈ 15 эВ превышающих положение дна ЗП.

Список литературы

- [1] Горьков Л. П., Копнин Н. Б. // УФН. 1988. Т. 156. С. 117—135.
- [2] Nemoshkalenko V. V., Timoshhevskii A. N. // Phys. St. Sol. (B). 1985. V. 127. N 1. P. 163—173.
- [3] Balzarotti A., Comin F., Incoccia L., Piacentini M., Mobilio S., Savoia A. // Sol. St. Comm. 1980. V. 35. N 2. P. 145—149.
- [4] Gegusin I. I., Datsyuk V. N., Novakovich A. A., Bugaev L. A., Vedrinskii R. V. // Phys. St. Sol. (B). 1986. V. 134. N 2. P. 641—650.
- [5] Gegusin I. I., Datsyuk V. N., Yumatoff A. D., Vedrinskii R. V. // Phys. St. Sol. (B). 1989. V. 151. N 2. P. 581—590.
- [6] Mattheiss L. F. // Phys. Rev. B. 1972. V. 6. N 12. P. 4718—4740.
- [7] Гегузин И. И., Бунин М. А., Дацюк В. Н. // ФТТ. 1989. Т. 31. № 12. С. 15—21.
- [8] Schwarz K. // Phys. Rev. B. 1972. V. 5. N 7. P. 2466—2468.
- [9] Woolfson M. S., Holland B. W. // Sol. St. Comm. 1981. V. 38. N 10. P. 961—963.

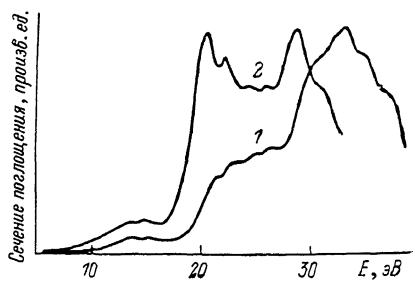


Рис. 2. Теоретические TiK-спектры поглощения в SrTiO₃.